

$(C_2H_4)_n$

полиэтилен

C-I

1969

столидылен

З Е210. Термодинамические свойства идеально кристаллического полиэтилена. Atkinson C. M. L., Richardson M. J. Thermodynamic properties of ideally crystalline polyethylene. «Trans. Faraday Soc.», 1969, 65, № 7, 1764—1773 (англ.)

Приведены параллельные дилатометрические и калориметрич. измерения нескольких полиэтиленов с различной термич. предысторией в диапазоне от -35° до температуры плавления. Определение степени кристалличности по энталпии и плотности хорошо согласуется вплоть до 60°C , когда возможно прямое сравнение с данными по н-парафинам. Следовательно, энталпия поверхностей раздела кристаллитов мала и очевидно, что такое поло-

T_m ; ΔH_m

01, 1970.

38

жение сохраняется до т-ры плавления. График рассчитанной теплоты плавления абсолютно кристаллич. полиэтилена обнаруживает значительную кривизну при низких т-рах; в точке плавления она равна 307 дж/г , почти на 5% выше ранее известного высшего значения. Температурная зависимость свободной энергии плавления показывает, что т-ра плавления вытянутых цепочек равна $141 \pm 1^\circ \text{C}$.

Резюме

1969

Полиэтилен

2 E236. Плотность полиэтилена, закристаллизованного из расплава и из разбавленного раствора. Shatma R. K., Mandelkern L. The density of polyethylene crystallized in the bulk and from dilute solution. «Macromolecules», 1969, 2, № 3, 266—271 (англ.)

Методами градиентных колонн, гидростатич. взвешивания и пикнометрическим измеряли плотность d полиэтилена, закристаллизованного из расплава (d_m) и из разбавленных растворов (d_s) в толуоле и других растворителях и сравнивали полученные данные. Значения d_m колеблются от 0,9361 до 0,9933 в зависимости от типа полиэтилена и условий кристаллизации и способа измерения, $d_s \approx 0,97$ и также зависит от способа измерения. Предполагается, что более низкие, чем предсказывалось значения d_s связаны с особенностями морфологии монокристаллов.

М. Ф. Бухина

9.19.40.23

1969

Robertson R. S.

Фонд Турина

Macromolecules, 2,
N 3, 250.

15'

Конфигурация упомянутой
многократной макромолекулы
на трех изомерных патр-
иохабильных

ф. 1970. д 3 238

(G M₄) X

1970
6 E288. О теплоемкости кристаллического полиэтилена. Baur H. Über die Wärmekapazität des kristallinen Polyäthylens. I. Aussagen und Gültigkeitsgrenzen einigen Kontinuums-Näherungen. «Kolloid-Z. und Z. Polym.», 1970, 241, № 1—2, 1057—1070 (нем.; рез. англ.)

Измерена теплоемкость C_p полиэтилена (ПЭ) в широком интервале т-р. Для ПЭ высокой степени кристалличности в температурном интервале 15—90° К и вблизи 210° К величина C_p претерпевает существенные изменения. Отмечается, что при значениях т-ры 0° К < T < 5° К зависимость $C_p = f(T)$ отвечает эмпирич. соотношению $\lg C_p = a \lg T - b$, где $a=3$ и $b=4,6$. Эксперим. значения C_v в интервале т-р 90—210° К изменяются от 2,07 до 3,96, отвечаая эмпирич. соотношению $\lg C_v = c \lg T - d$, где $c=0,76$ и $d=1,16$. Производится сравнительное рассмотрение теорий теплоемкости, предложенных Дебаем и Тарасовым. Отмечается, что определяемые экспериментально значения C_p и C_v отличаются от теоретических. Это

C_p

оф. 1971. 69

отличие связывается с существованием разного вида ча-
стотной зависимости теплоемкости для идеализирован-
ных и реальных кристаллич. структур. На основании рас-
смотрения случаев распространения продольных и попе-
речных волн в однородных средах сравниваются кривые
дисперсии $\omega=f(k)$ и распределения плотности $\rho=f(\omega)$.
Отмечается, что даже для подобных сред характер за-
висимостей $\omega=f(k)$ и $\rho=f(\omega)$ отличается, дополнитель-
ные эффекты вносятся неоднородностью реальной кри-
сталлич. структуры линейного ПЭ.

Ю. В. Зеленев

(C-H)_n

1971

Cp

12 E324. О теплоемкости кристаллического полиэтилена. Ч. II. Ваиг Н. Über die Wärmekapazität des kristallinen Polyäthylens. II. Aussagen und Gültigkeitsgrenzen des Stockmayer-Hecht-Modelles. «Kolloid-Z. und Z. Polym.», 1971, 244, № 2, 293—303 (нем.; рез. англ.)

Обсуждается характер изменения теплоемкости полностью кристаллич. полиэтилена в широком интервале

ф. 1971. 128

т-р. Для полиэтилена высокой степени кристалличности в температурном интервале от 0° до 200° К температурная зависимость C_V претерпевает существенные изменения. Отмечается, что при значениях т-ры $0^{\circ}\text{K} < T \leq 10^{\circ}\text{K}$ справедлива зависимость $C_V \sim T^3$. В интервале т-р между 10° и 50° К справедливо соотношение $C_V = a_3 T^3 + a_n T^n$, где показатель n с повышением т-ры уменьшается от 3 до 3/2. В температурном интервале 100—200° К справедливо выражение $C_V = a_1 T + a_{1/2} T^{1/2}$, где $a_1 = 0,0068$; $a_{1/2} = -0,1533$. Эти температурные зависимости качественно объясняются моделью Штокмайера — Гехта, согласно которой поперечные фононы в полимерных кристаллах имеют эффективную массу. Ю. В. Зеленев

$(C_2H_4)_n$

1972

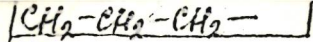
2 E288. Модуль сжатия и плотность полиэтилена до 30 кбар. Heydemann P. L. M., Houck J. C., Bulk modulus and density of polyethylene to 30 kbar. «J. Polym. Sci.», 1972, Part A2, 10, № 9, 1631—1637 (англ.)

Измерены модуль сжатия и плотность полиэтилена низкой плотности при давлениях до 30 кбар. Из этих данных получен барич. коэф. т-ры стеклования и произведено сопоставление с теоретич. значениями, полученными из ур-ния состояния Пастина (РЖФиз, 1969, 4Е197) для полиэтилена.

Резюме

Рэкбр-73-2

C₂H₄



1972

2 E290. Рентгеновская дифракция от полимеров, находящихся под высоким давлением: сжимаемость линейного полиэтилена. Klemprer D., Katasz F. E. High pressure X-tau diffraction of polymers: compressibility of linear polyethylene. «Amer. Chem. Soc. Polym. Preprg.», 1972, 13, № 2, 976—980 (англ.)

Рентгенографическим методом исследовано влияние всестороннего давления P (величиной до 10 кбар) на кристаллич. решетку линейного полиэтилена. Параметры элементарной ячейки a и b уменьшаются с ростом P , а c —практически не меняется; построены графики изменения плотности решетки и ее сжимаемости в зависимости от P . Наблюдаемые изменения описаны эмпирич. ур-ниями 3-го порядка. Б. М. Гинзбург

(парац.
ячейка)

Физик-73-2

(C_2H_4)_n + I_{gaz.}

1972

2 Е363. Электропроводность полиэтилена с добавками йода. Lewis T. J., Taylor D. M. Electrical conduction in iodine-doped polyethylene. «J. Phys. D: Appl. Phys.», 1972, 5, № 9, 1664—1670 (англ.)

(Электропр.) Электропроводность пленок полиэтилена (ПЭ) при добавлении I_2 сильно растет. Чтобы выяснить механизм этого явления проведено исследование временной зави-

(см. на обр.)

тъ)
ниш

ФИКФО - 73 - 2

симости проводимости пленок ПЭ с добавлением J_2 в электролитич. контакты (К). Характер зависимости тока от времени разный при инжекции J_2 в катод или анод. Построенная теория, учитывая диффузию J_2 , полностью объясняет эксперименты и позволяет определить коэф. диффузии и плотность носителей, которые равны, соответственно, 10^{-8} — 10^{-9} см²/сек и 10^{12} — 10^{14} см⁻³. Однако остается неясной зависимость плотности тока от толщины образца, которая не следует из теории. Сравнение теории и эксперимента показывает, что ток в ПЭ с J_2 может быть объяснен диффузией нейтрального J_2 в ПЭ с последующим донорно-акцепторным взаимодействием, создающим дырки в ПЭ. Диффузия J_2 идет в основном в аморфные области ПЭ и улучшает электрич. контакт между кристаллитами за счет связи через J_2^- . Электропроводность образуется за счет рекомбинации электронов и дырок на одном конце молекулы ПЭ и образования их на другом конце за счет донорно-акцепторного взаимодействия с J_2 . Отмечается, что подобные процессы существенны в диэлектрич. полимерах, в которых проводимость определяется межмолекулярными барьерами.

О. П.

C_2H_4 (полиэтил.)
 $C - H$

1972.

- 3 Е280. Термодинамические свойства полиэтилена и эйкозана. Ч. I. $P-V-T$ соотношения и внутреннее давление. Tsujita Yoshihagi, Nose Takuhei, Nata Toshio. Thermodynamic properties of polyethylene and eicosane. I. $P-V-T$ relations and internal pressure. «Polym. J.», 1972, 3, № 5, 581—586 (англ.)

С помощью дилатометра с дополнительным приспособлением, позволяющим проводить испытания при различном давлении P , исследовали термодинамич. свойства линейного нефракционированного полиэтилена (ПЭ) с молекулярным весом 34 000, закристаллизованного предварительно в течение месяца при т-ре $T=130^\circ C$, а также n -парафина — эйкозана (Э). Кристалличность образ-

Т.г.сб

φ. 1973 № 3

цов ПЭ $\eta = 78,2\%$, а чистота образцов Э достигала 99,9%. Зависимость $P - V - T$, а также коэф. термич. расширения α , сжимаемость β и внутреннее давление P_i измерялось при $20^\circ\text{C} < T < 230^\circ\text{C}$ для ПЭ и $-30^\circ\text{C} < T < 120^\circ\text{C}$ для Э. В области плавления α , β , P_i изменяются как при λ -переходе, который шире для ПЭ, чем для Э. В области $T < t_{\text{ры пл.}}$ наблюдается более резкая зависимость α от T , чем β , поэтому P_i начинает расти уже при $T = 50^\circ\text{C}$ для ПЭ. P_i у Э в твердом состоянии $< P_i$ для ПЭ. F_i образцов, находящихся в жидкоком состоянии, пропорционально V^{-6} для ПЭ и $V^{-2,45}$ для Э. Приводится блок-схема прибора.

Н. Л. С.

(C_2H_4)

$(C-H)_n$

ЗЕ281. Термодинамические свойства полиэтилена и эйкозана. Ч. II. Конформационная энтропия плавления. Tsujita Yoshihagi, Nose Takuhei, Hata Toshiro. Thermodynamic properties of polyethylene and eicosane. II. Conformational entropy of melting. «Polym. J.», 1972, 3, № 5, 587—590 (англ.)

1972

С помощью дилатометра, описанного в ч. I (см. реф. ЗЕ280), исследовано изменение энтропии $\Delta S_m = (\Delta S_{dis} + \Delta S_c) + \Delta S_v$ плавления нефракционированного линейного полиэтилена ПЭ с мол. весом 34 000 и эйкозана Э. Здесь ΔS_{dis} — изменение S при переходе молекулярных агрегатов от упорядоченного к разупорядоченному состоянию, ΔS_c — изменение конформационной S , ΔS_v — изменение S при изменении объема V . Из эксперим. зависимости $P—V—T$ и ур-ний Клайперона—Клаузиуса и Максвелла определено ΔS_m . Значение ΔS_{dis} , найденное для простых сферич. молекул Ag и CCl_4 , предполагается одинаковым для всех в-в, включая полимеры. Отсюда, с учетом размера мольных единиц для ПЭ и Э рассчитаны значения ΔS_c , которые оказались близкими к теоретич. оценкам, известным в литературе.

Н. Л. С.

Ф. 1973 № 3

41031.8478

Ch, Me1, Ph, TC

(Cp) 41245 09 1974
полиэтилен 2 2635

Chang S.S.

Heat capacities of polyethylene from 2 to 360 K. II. Two high density linear polyethylene samples and thermodynamic properties of crystalline linear polyethylene

"J.Res.Nat.Bur.Stand." 1974, A 78, N 3, 387-400
(англ.)

192 196 216 0224 дик: ВИНИТИ

$$(-\text{CH}_2-\text{CH}_2-)$$

n

0mmucl 3675

1974

Splitstone P. L.
Johnson W.H.

ΔH_f° ; ΔH_{comb}° ,
 ΔH_{crys}° .

J. Res. Natl. Bur. Stand.
Phys and Chem. 1974, 78A
N⁵, 611-616.

исследование

2 Е1619. Теплоемкость линейных полимеров.
Wong K. C., Chen F. C., Choy C. L. Heat capacity
of linear high polymers. «Polymer», 1975, 16, № 9,
649—653 (англ.)

1975

Методом равновесной адиабатич. калориметрии изучалась теплоемкость сополимера полиэтилена с тетрафторэтиленом (I) состава 45%: 55% в интервале т-р от 80 до 340° К. Эксперим. результаты обсуждаются в свете работ Тарасова (ЖФХ, 1950, 24, 111). Показано, что эксперим. данные для сополимера хорошо описываются одномерной ф-цией Тарасова с $\theta = 360^{\circ}$ К (акустич. колебания) и суммой членов с оптич. колебаниями, взятыми из оптич. экспериментов для ПЭ и ПТФЭ. Показано также, что эксперим. значения теплоемкости сополимера I хорошо укладываются в принцип аддитивности, предложенный Вундерлихом (РЖФиз, 1970, ЗЕ211). Теплоемкость I оказалась равной сумме теплоемкостей ПЭ и ПТФЭ, взятых с учетом весового состава сополимера. Принцип аддитивности оказался применим ко всем фторсодержащим полимерам метиленового ряда. Обсуждается соответствие модели Тарасова принципу аддитивности Вундерлиха в интервале т-р, где взаимодействием между цепями можно пренебречь.

И. В. С.

Ср

Ф 1976 № 2

Горизонталы

1976

Егоров Б. Н

(К-30)

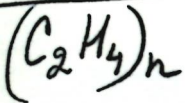
Кимесо В. С.

(ср)

Глбр. конференции международ. сб. б. гв-вещества. Москва
18-21 марта, 1976 г. Секция 1

Результаты исследований
материалов - кости некоторых
электро технических
материалов

Полиэтилен



1981

2 E351. Термоемкость и другие термодинамические свойства линейных макромолекул. II. Полиэтилен. Heat capacity and other thermodynamic properties of linear macromolecules. II. Polyethylene. Gaur Umesh, Wunderlich Bernhard. «J. Phys. and Chem. Ref. Data», 1981, 10, № 1, 119—152 (англ.)

термоемк.

Анализируются эксперим. данные по теплоемкости C_p полиэтиленов (ПЭ) в интервале 0÷600 К. Приводятся стандартные данные по C_p , энталпии, энтропии и энергии Гиббса для полностью кристаллического и аморфного ПЭ. C_p кристаллич. ПЭ плавная ф-ция T от 0 до 360 К; выше 360 К начинается ускоренный рост, такой, что при 410 К C_p аморфного и кристаллического ПЭ совпадают. C_p расплава линейно зависит от T . Двухфазная модель для линейной интерполяции C_p применима как для линейного, так и для разветвленного ПЭ,

φ. 1982, 18, № 2.

но неприменима для ПЭ с очень большими значениями
мол. массы. Библ. 67. Ч. I см. реф. 2E350.

М. В. Белостоцкий

$C_2H_4(w)$

1985

Labinov M.S., Sysoev VM.
Chalyi A.V., Chmykhalo
P.A.,

yp-ue Prom. Teplotekhn. 1985,
cosmoeconom. T(4), 23-8.

Equation of state of liquid
C.A. 1985, 103, N18, 147533e ethylene.

C_2H_4

1985

Mollema J.

PVT
cb-6a

J. Chem. Thermodyn.;
1985, 17, NS, 489-499.

(air. CH_4 ; $\frac{T}{P}$)